

مقاله پژوهشی

## واکاوی تأثیر ابرناکی بر تابش فرابنفش تجمعی روزانه UVB در مناطق خشک و نیمه خشک ایران

علی اکبر سبزی پرور<sup>۱\*</sup> - علیرضا سیف زاده مومن سرایی<sup>۲</sup>

تاریخ دریافت: ۱۳۹۹/۰۴/۲۴

تاریخ پذیرش: ۱۳۹۹/۱۲/۰۹

### چکیده

اگرچه سهم کل انرژی در طیف UV بین ۵ الی ۷ درصد کل انرژی خورشید می‌باشد، ولی همین مقدار کم نقش مهمی در فعالیت‌های بیولوژیکی و فتوشیمیایی زمین و جو ایفا می‌کند. طبق سوابق موجود، تاکنون پژوهشی جهت مقایسه تابش فرابنفش در شرایط مختلف جوی در ایران انجام نگرفته است. در این پژوهش با استفاده از داده‌های عمق نوری ابر، عمق نوری هواویز، اُزون کلی جو و آلبیدوی سطح که از تصاویر ماهواره‌ای دریافت شد، مقدار تابش تجمعی روزانه در محدوده طیف UVB (280-315nm) با استفاده از مدل چند لایه‌ای انتقال تابشی TUV5.3 (تهیه شده در مرکز NCAR کلرادو آمریکا) در دوره‌ی اقلیمی ۱۳ ساله در ۲۲ ایستگاه از مناطق خشک و نیمه خشک کشور برآورد گردید. نتایج در سه حالت شرایط آسمان کاملاً صاف، کاملاً ابری و واقعی برآورد و با یکدیگر مورد مقایسه قرار گرفت. برآوردها در شرایط آسمان کاملاً صاف و ابری حکایت از حضور بیشینه تابش UVB در فصل تابستان در نواحی جنوبی و جنوب شرقی منطقه مورد مطالعه دارد. بر اساس نقشه‌های بدست آمده، کمینه مقادیر روزانه UVB نیز در تمامی شرایط مورد بررسی در فصل زمستان مشاهده گردید. مقادیر UVB تحت شرایط آسمان کاملاً ابری به نسبت آسمان کاملاً صاف به طور متوسط از ۳۳ درصد در فصل تابستان تا ۶۷ درصد در فصل پاییز کاهش نشان داد که تأکید بر اهمیت ابرناکی در کاهش تابش لحظه‌ای و تجمعی طیف UVB در ماه‌هایی با زوایای مایل خورشید و مقادیر کم اُزون دارد. در شرایط واقعی آسمان، بیشینه شدت تابش تجمعی روزانه UVB در اغلب فصول در مناطق جنوبی منطقه متمرکز بود. البته در فصل تابستان، نفوذ مونسون هندوستان از سمت جنوبشرق، این بیشینه را قدری به سمت شمالغرب منطقه مورد مطالعه منتقل نمود.

**واژه‌های کلیدی:** آسمان صاف، تابش بیولوژیکی سطحی، شرایط ابری، مدل انتقال تابش چند لایه‌ای TUV5، میانگین فصلی UVB

### مقدمه

است. به بیانی دیگر ۹۴ درصد آن مربوط به UV-A و ۶ درصد مربوط به UV-B است. فوتون‌های طول موج UV-B به سلول‌های بدن آسیب می‌رساند و تغییرات شیمیایی را در مواد تشکیل دهنده آن‌ها ایجاد می‌کنند. تابش‌های مضر UV-B تأثیرات کوتاه مدت و بلند مدتی بر پوست دارند، باعث بیماری‌های گوناگون پوستی، از جمله آفتاب سوختگی، حساسیت‌های پوستی و سرطان پوست می‌شوند و زنجیره DNA را نیز تحت تأثیر قرار می‌دهند. اثرات بلند مدت UV بر موجودات زنده با تغییر در مواد ژنتیک ایجاد می‌شود. در گذشته چالش تغییرات شدت UV-B به دلیل نوسانات ناچیز دراز مدت در ضخامت لایه اُزون خیلی جدی نبود، اما با نازک شدن لایه اُزون در سال‌های اخیر، توجه به مخاطرات افزایش شدت UV-B نیز اهمیت یافته است.

در فیزیک تابش پرتوهای فرابنفش خورشیدی به سه زیر طیف مجزا تقسیم می‌شوند. محدوده طول موج‌های تابش فرابنفش برای زیر طیف UV-A ۳۱۵ تا ۴۰۰ نانومتر، برای UV-B ۲۸۰ تا ۳۱۵ نانومتر و برای UV-C ۲۰۰ تا ۲۸۰ نانومتر می‌باشد. بخش UV-C کاملاً در اُزون آرام‌سپهری جذب می‌شود و به سطح زمین نمی‌رسد. معمولاً UV رسیده به سطح زمین ترکیبی از UV-A و UV-B

۱ و ۲- به ترتیب استاد و دانشجوی دکتری هواشناسی کشاورزی، گروه مهندسی آب، دانشکده کشاورزی، دانشگاه بوعلی سینا  
\* - نویسنده مسئول:  
(Email: swsabzi@basu.ac.ir)

از شهرهای آفتابگیر کشور آرژانتین نموده و نتیجه را با برآوردهای حاصل از مدل TUV 4.1 مقایسه نمودند. نتایج آن‌ها نشان داد که در روزهای صاف برای زوایای سمت الراس کوچکتر از ۷۰ درجه، خطای مدل TUV کمتر از ۱۰ درصد می‌باشد.

علاوه بر تاثیر قابل ملاحظه آزون بر تابش UVB دریافتی، عوامل دیگری نظیر آلبیدوی سطح زمین و ارتفاع از سطح دریا بر مقدار تابش فرابنفش دریافتی اثرگذار می‌باشند. در پژوهش پریولوا و چملیک (۱۴) تاثیر ارتفاع از سطح دریا و آلبیدو بر شدت تابش UVB تحت شرایط آسمان صاف در دو ایستگاه مرتفع و برف گیر اسلوواکیا مطالعه شد. در این تحقیق تحت زاویه سمت الرس ۵۵ الی ۶۵ درجه و بدون پوشش برفی گرادیان UVB به ازای هر یک کیلومتر ۱۵٪ افزایش نشان داد. در حالیکه افزایش ارتفاع برای TSR حدود ۶٪ بر کیلومتر بدست آمد.

مطالعات نشان می‌دهد که هم تغییر اقلیم بر توزیع آزون و شدت UVB اثر گذاشته و هم متقابلاً تغییرات آزون بر سیگنال‌های تغییر اقلیم اثر گذار است (۸). حتی بدون تغییر در آزون، تغییر اقلیم با تاثیر بر ابرناکی و آلبیدو می‌تواند موجب تغییر در مقدار UVB سطحی در قرن ۲۱ شود. در مجموع، تحقیقات فوق نشان می‌دهد که ابرناکی و ابرها در رابطه با آینده تابش UV در قرن ۲۱ وجود دارد که علت آن تغییرات غیر قابل پیش بینی در مقدار ابرها و هواویزها (آروسول‌ها) است. اگر چه تاثیر آزون در افزایش شدت UV در چند دهه اخیر از موضوعات مهم و قابل توجه محافل علمی و بین‌المللی بوده است، ولی متاسفانه اندازه‌گیری‌های سیستماتیک اندکی جهت مطالعات مرتبط با اشعه فرابنفش موجود است. علت این امر هزینه سنگین اندازه گیری و مشکلات و پیچیدگی‌های نگهداری دستگاه‌های اندازه گیری طیف فرابنفش می‌باشد. به همین علت اغلب مطالعات بر اساس برآوردهای انجام شده با مدل‌های تابش انجام می‌گیرد.

جهت تفسیر تغییرات مکانی مشاهده شده و بررسی روند تغییرات زمانی تابش فرابنفش، مطالعه منطقه‌ای تابش بیولوژیکی امری اجتناب ناپذیر به نظر می‌رسد. در مقیاس جهانی مطالعات اندکی تاکنون ارائه شده است که از جمله می‌توان به تحقیق سبزی پرور و همکاران (۱۵) اشاره نمود. آنها با استفاده از مدل تابش مالتی استریم (چند چشمه‌ای) و یک جو چند لایه‌ای به ارائه میانگین‌های دراز مدت تابش‌های بیولوژیکی نوع UVA، UVB، آفتاب سوختگی و آب مروارید چشمی در مقیاس  $1/25^{\circ} \times 1/25^{\circ}$  اقدام نمودند. مقایسه نتایج مدل نامبردگان با اندازه گیری‌های واقعی نشان داد که در مناطق خشک و کم ابر خطای پیش بینی‌های مدل کمتر از  $\pm 10\%$  درصد می‌باشد ولی برای مناطق مرطوب و ابری این اختلاف تا  $\pm 20\%$  درصد قابل انتظار است. در این تحقیق نشان داده شده که در توزیع جغرافیایی تابش‌های بیولوژیکی موقعیت سمت الرس خورشید در محل نقشی مهم تر از آزون ایفا می‌کند.

تا به امروز تحقیقات بسیاری در زمینه سنجش و ارزیابی تأثیرات اشعه فرابنفش بر روی گیاهان و سلامت انسان توسط محققین رشته های زیست‌شناسی، علوم گیاهی و علوم پزشکی به صورت مطالعه موردی و آزمایشگاهی صورت گرفته که از آن جمله می‌توان به کارهای عابدزاده و پور اکبر (۱)، خاتمی و قناتی (۵)، مرادی و همکاران (۱۱) و WHO (۱۸) بطور مشخص اشاره نمود. مطالعات انجام شده در ایران بیشتر به تاثیر پرتو فرابنفش بر پارامترهای گیاهی مانند طول قسمت هوایی و طول ریشه و ساقه و همین طور تأثیرات مخرب این اشعه بر روی پوست و چشم و بطور کلی سلامت انسان پرداخته شده است. اما هدف این پژوهش محاسبه و ارزیابی میزان پرتو فرابنفش UV-B تحت شرایط آب و هوایی گوناگون و پهنه بندی آن در منطقه مورد مطالعه است. چنین مطالعاتی غالباً در خارج از ایران انجام شده اما متاسفانه با توجه به متفاوت بودن اقلیم ایستگاه‌های مورد مطالعه نتایج مطالعات مذکور به شرایط ایران قابل انتقال و تعمیم نمی‌باشد.

### پیشینه پژوهش

شرعی پور و علی اکبری (۱۷) اثرات عوامل ابرناکی و آزون کلی را بر تابش UVB برای یک دوره یک ساله ۲۰۰۳ - ۲۰۰۴ در منطقه اصفهان بررسی کردند. نتایج نشان داد که بیشترین مقدار تابش در ماه‌های ژوئن و ژوئیه رخ می‌دهد. بررسی ارتباط تابش UVB با برخی عوامل موثر از جمله آزون کلی جو و ابرناکی نیز نشان داد در ماه‌هایی که اثر ابرناکی قابل ملاحظه است (ماه‌های دسامبر تا آوریل) عامل ابرناکی موثرتر از آزون کل می‌باشد. در پژوهش نامبردگان بررسی مقادیر روزانه فاکتور ابرناکی نشان داد که پوشش ابری زیاد می‌تواند باعث کاهش شدید تابش UVB تجمعی روزانه شود.

فرج‌زاده اصل و همکاران (۲) در سال ۲۰۱۴ به تحلیل تغییرات تابش فرابنفش در چهار مقیاس زمانی روزانه، ماهانه، فصلی و سالانه در منطقه اصفهان پرداختند. نتایج حاصل از برآزش روند تغییرات فصلی نشان داد که مقدار تابش در فصل بهار روندی افزایشی داشته است در حالیکه این روند برای دیگر فصل‌ها کاهش یافته است. همچنین نتایج نشان داد که بیشترین شاخص تابش فرابنفش (UVI) به مقدار ۱۱/۵ در اواسط تابستان روی داده است و کمترین آن با مقدار ۰/۵ در زمستان رخ داده است.

لام و همکاران (۶) تحقیقی را درخصوص تابش فرابنفش سطحی و آزون کلی در شهر هنک کنگ انجام دادند. براساس نتایج این تحقیق، مقدار UVB همبستگی منفی با آزون کلی نشان داد و تغییرات دوره ۱۹۹۵ - ۲۰۰۱ نشان داد که افزایش ۱٪ در آزون کلی باعث کاهش ۱ درصد در مقدار UVB سطحی می‌گردد.

پالانکار و تاسلی (۱۳) با استفاده از پیرانومتر UVB-YES و YES TSP-700 اقدام به اندازه‌گیری تابش UVB و TSR در یکی

اقليمی دوما رتن اصلاح شده در مناطق خشک، نیمه خشک و فراخشک قرار دارند انتخاب شدند. اطلاعات جغرافیایی ایستگاه‌های هواشناسی مورد مطالعه در جدول ۱ قابل مشاهده است. موقعیت منطقه مورد مطالعه نیز در شکل ۱ نشان داده شده است. در این شکل ۲۲ شهر مورد نظر در ۹ استان ایران قرار گرفته‌اند. با توجه به عدم وجود شبکه پایش تابش فرابنفش در کشور، مقادیر ساعتی و روزانه در ایستگاه‌های مورد مطالعه از مدل انتقال تابشی TUV5 استفاده شد. مدل‌های چند لایه‌ای انتقال تابشی نقش مهمی در مطالعات پرتوهای فرابنفش و برنامه‌های عملیاتی مرتبط با آن دارند. از جمله مزیت‌های مدل انتقال چند لایه‌ای TUV نسبت به سایر مدل‌ها انعطاف پذیری بیشتر این مدل است

در مجموع، ریسک بالای تابش فرابنفش بیش از نرمال، و تأثیر سوء بر سلول‌های حیاتی انسان، دام و گیاهان به ویژه در مناطق خشک و بیابانی سبب شده تا انجام چنین پژوهشی ضرورت پیدا کند. با توجه به اینکه در مباحث تغییر اقلیم احتمال افزایش ابرناکی در دهه‌های اخیر و آینده و تأثیر مثبت آن بر کاهش شدت پرتوهای فرابنفش دریافتی در سطح زمین وجود دارد، انجام این پژوهشی می‌تواند به بررسی فرض مذکور بپردازد و تأثیر نوسانات عوامل اقلیمی چون ابرناکی، هواویزها و اُزون را بر تابش فرابنفش تعیین کند.

## مواد و روش‌ها

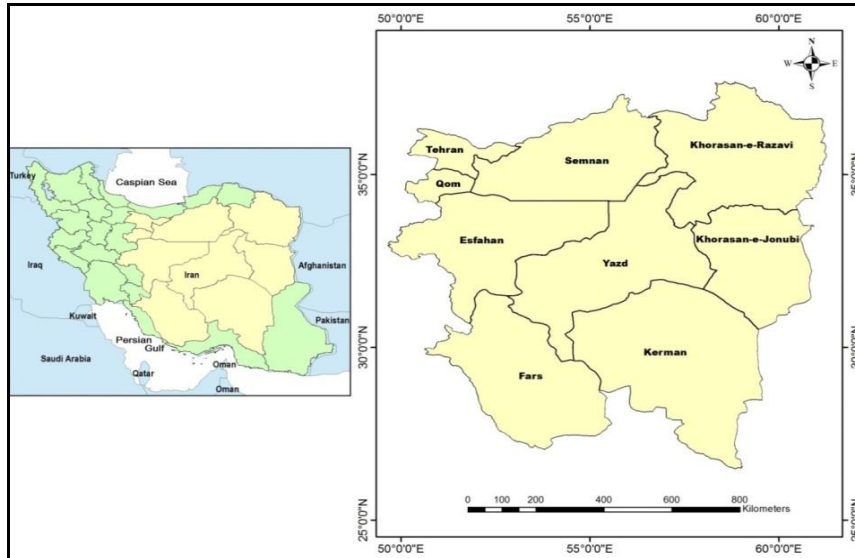
### الف) منطقه مورد مطالعه

در تحقیق حاضر ۲۲ ایستگاه که براساس سیستم طبقه بندی

جدول ۱- اطلاعات جغرافیایی و نوع اقلیم شهرهای واقع در منطقه مورد مطالعه

Table 1- Geographical information and climate types of cities located in the study area

ردیف No.	شهر City	طول جغرافیایی Longitude (E)	عرض جغرافیایی Latitude (N)	ارتفاع (متر) Altitude (m)	نوع آب و هوا (دمارتن اصلاح شده) Climate type (adjusted De Martonne)
1	آباده Abadeh	52.67	31.18	2030	خشک Arid
2	انار Anar	55.25	30.88	1409	فراخشک Hyper-arid
3	بافت Baft	56.58	29.23	2280	نیمه خشک Semi-arid
4	بم Bam	58.35	29.10	1067	فراخشک Hyper-arid
5	بیرجند Birjand	59.20	32.86	1491	خشک Arid
6	اصفهان Isfahan	51.87	32.67	1601	فراخشک Hyper-arid
7	فردوس Ferdows	58.17	34.02	1250	خشک Arid
8	گرمسار Garmsar	52.27	35.20	825	فراخشک Hyper-arid
9	قم Qom	50.85	34.70	877	خشک Arid
10	گناباد Gonabad	58.68	34.35	1056	خشک Arid
11	کبوترآباد Kabootar-Abaad	51.85	32.52	1545	فراخشک Hyper-arid
12	کاشان Kashan	51.45	33.98	982	نیمه خشک Semi-arid
13	کاشمر Kashmar	58.47	35.30	1110	فراخشک Hyper-arid
14	کرمان Kerman	56.97	30.25	1754	خشک Arid
15	خوربیابانک Khor-Biabanak	55.03	33.78	845	خشک Arid
16	میانده جیرفت Minadeh-Jiroft	57.80	28.58	601	خشک Arid
17	سمنان Semnan	53.55	35.55	1171	خشک Arid
18	شهر بابک Shahre-Babak	55.13	30.10	1834	خشک Arid
19	سیرجان Sirjan	55.68	30.47	1739	خشک Arid
20	طبس Tabbas	56.92	33.60	711	فراخشک Extra arid
21	تهران Tehran	51.32	35.68	1190	خشک Arid
22	یزد Yazd	54.40	31.90	1230	فراخشک Extra arid



شکل ۱ - موقعیت جغرافیایی منطقه مورد مطالعه  
Figure 1- Geographical location of the study area

### ب) داده‌ها

#### روش آماده سازی داده‌ها

داده‌های مورد نیاز این پژوهش که عمدتاً همان داده‌های ورودی مدل TUV می‌باشند در طول دوره آماری ۱۳ ساله (۲۰۰۵ - ۲۰۱۷)، برای ۲۲ ایستگاه مورد مطالعه در مناطق مرکزی ایران از منابع زیر تهیه گردید:

طول و عرض جغرافیایی منطقه مورد نظر و ارتفاع ایستگاه از سطح دریا از مرکز آمار و اطلاعات سازمان هواشناسی اخذ گردید (جدول ۱). همچنین، حداکثر طول روز (N) و مقدار ساعات آفتابی (n) به صورت متوسط ماهیانه جهت محاسبه ضریب (n/N) که یک ضریب تعدیلی برای محاسبه شرایط واقعی آسمان است، از مرکز آمار و اطلاعات سازمان هواشناسی دریافت گردید. در این پژوهش تصاویر ماهواره‌ای عمق نوری ابر و عمق نوری هواویز (آئروسول) از سنجنده Terra & Aqua/MODIS OMI/Aura (Total Column Ozone) از سنجنده TOMS بدست آمد. تصاویر ماهواره‌ای آلبیدوی زمین در طیف طول موج‌های فرابنفش با استفاده از داده‌های بازتحلیل پروژه MERRA-2 ناسا که با استفاده از ماهواره ERA و سیستم مشاهدات زمینی Goddard نسخه ۵ (GEOS-5) و سامانه داده گواهی جوی (ADAS<sup>۵</sup>) نسخه ۵،۱۲،۴ تهیه می‌شود، مورد استفاده قرار گرفت. این تصاویر ماهواره‌ای نیز همانند تصاویر قبلی بصورت روزانه در شبکه

که با توجه به در نظر گرفتن موارد اضافی همچون گازهای کمیاب<sup>۱</sup> و انعکاس ناهمسانگرد<sup>۲</sup> (به علت در نظر گرفتن آلبیدو) همچنین سرعت محاسبه بالا و سادگی استفاده از آن سبب شده تا در بسیاری از مطالعات تحقیقاتی مورد توجه قرار گیرد (۴). در مجموع، مدل‌های انتقال تابشی در مقایسه با سایر مدل‌ها از جمله مدل‌های تجربی مطابقت بیشتری با مقادیر اندازه‌گیری از خود نشان می‌دهند. ضمن اینکه بر خلاف مدل‌های اشاره شده در گستره بیشتری از شرایط جوی قابلیت استفاده دارند. ضمناً، مدل‌های تجربی و نیمه تجربی تنها در شرایطی که از قبل نسبت به شرایط اقلیمی منطقه مورد مطالعه کالیبره شده باشند، قابلیت استفاده دارند (۹). مدل انتقال تابشی TUV اولین بار در سال ۱۹۹۳ توسط مدرونیچ<sup>۳</sup> در مرکز ملی تحقیقات علوم جوی آمریکا<sup>۴</sup> (NCAR) عرضه شد (۷). این مدل برای محاسبه تابش طیفی در طول موج‌های فرابنفش و مرئی با دقت قابل قبولی قابل استفاده می‌باشد. از جمله داده‌های ورودی مورد نیاز مدل TUV می‌توان طول و عرض جغرافیایی منطقه مورد نظر، عمق نوری ابر (Cloud Optical Thickness)، ارتفاع ایستگاه از سطح دریا، آلبیدوی زمین (Surface Albedo) در طول موج‌های فرابنفش، عمق نوری هواویز (Aerosol Optical Thickness) و آزون کلی جو را نام برد.

- 1- Trace gases
- 2- Anisotropic reflection
- 3- Madronich
- 4- U.S National Center for Atmospheric Research (NCAR)

5- Atmospheric Data Assimilation System

## نتایج و بحث

### شرایط آسمان کاملاً صاف

در این مطالعه ابتدا با استفاده از مدل TUV و داده‌های ورودی عمق نوری هواویز، اُزون کلی جو و آلبیدوی سطح زمین مقدار تابش تجمعی روزانه UVB تحت شرایط ایده‌آل آسمان صاف (بدون ابر) برآورد گردید تا پتانسیل منطقه برای دریافت بیشترین تابش فرابنفش در فصول مختلف برآورد گردد. در شکل ۲ پهنه‌های جغرافیایی تابش تجمعی روزانه UVB در ماه‌های ژانویه، آوریل، جولای و اکتبر (به ترتیب بعنوان نماینده فصل‌های زمستان، بهار، تابستان و پاییز) در شرایط آسمان کاملاً صاف ارائه شده است.

با توجه به شکل ۲c فصل تابستان بیشترین مقادیر UVB روزانه را در منطقه تجربه کرده است (با بیشینه ۵۳ کیلوژول بر متر مربع در روز برای ایستگاه جیرفت). برعکس، ماه ژانویه (بعنوان نماینده فصل زمستان) نیز در بین ماه‌های سال کمترین مقادیر UVB به خود اختصاص داده است (با کمینه ۹ کیلوژول بر متر مربع در روز در ایستگاه کاشمر). با توجه به شکل ۲d بزرگترین بازه تغییرات جغرافیایی تابش روزانه UVB در فصل پاییز (بین ۲۲ تا ۳۳ کیلوژول بر متر مربع در روز) رخ شده است. این در حالیست که کوچکترین بازه تغییرات جغرافیایی در نماینده فصل تابستان (بین ۴۵ تا ۵۲ کیلوژول بر مترمربع در روز) به وقوع پیوسته است. در مجموع، بیشترین و کمترین مقادیر UVB روزانه در نواحی جنوب شرقی (تابستان) و شمالشرقی (زمستان) منطقه مورد مطالعه دیده می‌شود. در فصول بهار و تابستان (شکل‌های ۲b,c) گرچه همچنان بیشینه شدت تابش UVB در نواحی جنوب شرقی منطقه مورد مطالعه متمرکز است، اما برخی نواحی شمال غربی به خصوص ایستگاه‌های تهران، قم و سمنان استثنائاً افزایشی تا ۱۰ درصد در شدت روزانه UVB نسبت به نواحی همجوار از خود نشان می‌دهند. بررسی نقشه پهنه اُزون فصلی (بهار) در دوره مطالعاتی تایید نمود که در شهرهای ذکر شده مقدار اُزون کلی جو کمتر از ایستگاه‌های اطراف بوده است. کاهش اُزون در ایستگاه‌های فوق مطالعه مجزایی نیاز دارد.

توزیع جغرافیایی تابش روزانه تجمعی UVB تحت شرایط آسمان صاف بیانگر این واقعیت است که در اغلب فصول سال تمرکز بیشینه آن در جنوب منطقه می‌باشد و حاکی از ریسک بالای دریافت پرتوهای فرابنفش برای سلول‌های زیستی این منطقه است. بر عکس شدت‌های کمتر در نواحی شمال شرقی منطقه برآورد گردید. همخوانی پهنه‌های ماهیانه UVB با مقادیر ماهیانه اُزون کلی در منطقه مورد مطالعه (حاصل این پژوهش) نیز وجود داشت. ولی در برخی ماه‌ها مانند آگوست و سپتامبر استثنائاً در مناطقی علی‌رغم مقدار اُزون بیشتر، تابش روزانه فرابنفش UVB دریافتی نیز بالا بود. در این رابطه تأثیر عمق نوری اُروسول‌ها بر شدت تابش دریافتی را نمی‌توان نادیده گرفت.

(Grid) جهانی  $0.25 \times 0.25$  درجه (۲۵ کیلومتر در ۲۵ کیلومتر) در اختیار قرار دارند و از سال ۱۹۸۰ تاکنون در آرشیو مرکزی موجود می‌باشند. تصاویر ماهواره‌ای مورد اشاره از طریق سایت اداره کل ملی هوانوردی و فضای<sup>۱</sup> آمریکا (به اختصار ناسا) بصورت رایگان در دسترس عموم پژوهشگران قرار دارد.

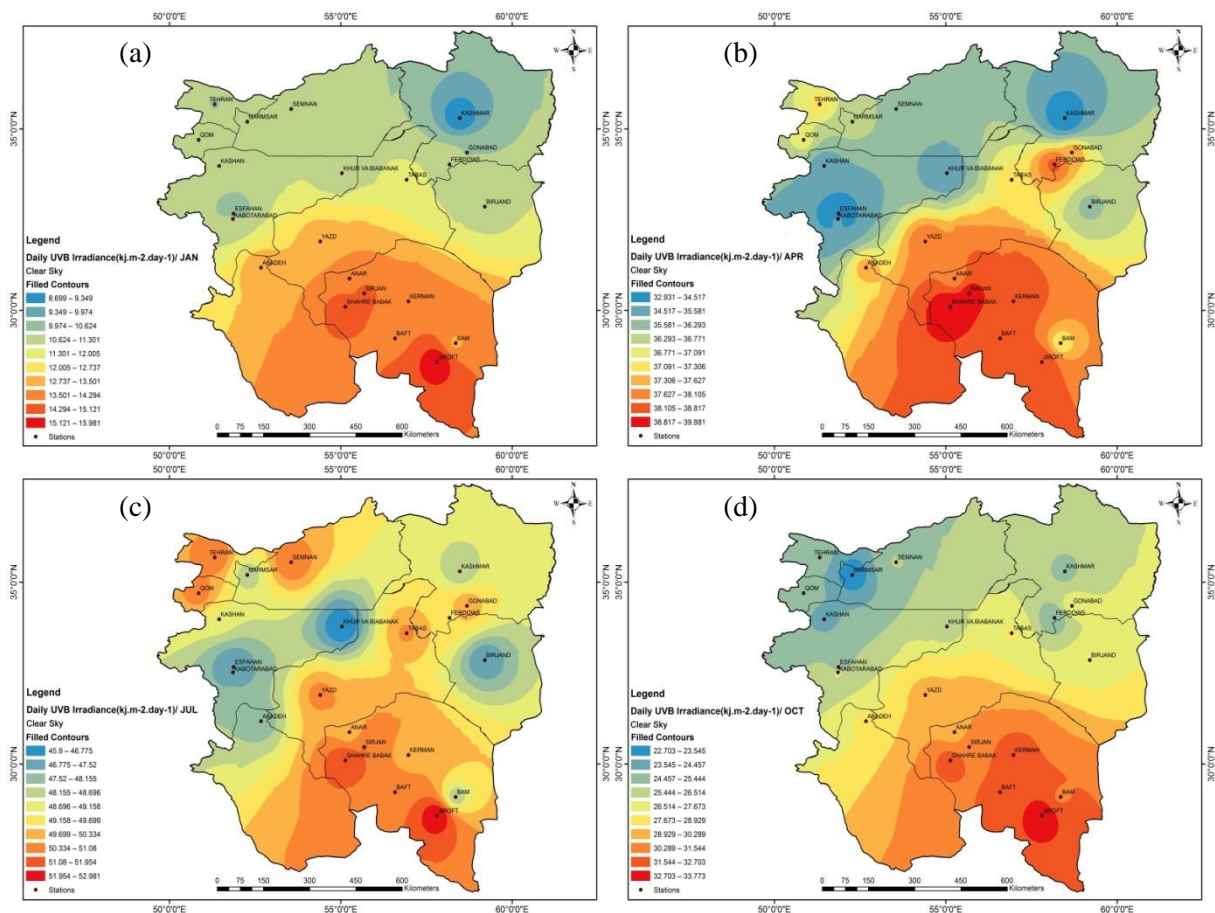
### ج) روش پژوهش

در این پژوهش با در اختیار داشتن داده‌های ورودی مورد نیاز مدل TUV برآورد مقادیر تابش UVB در چهار حالت زیر انجام شد: الف) شرایط آسمان کاملاً صاف (Clear Sky): در این حالت، مقدار ابرناکی در ورودی مدل TUV صفر در نظر گرفته می‌شود. ب) شرایط آسمان کاملاً ابری (Overcast): در این حالت، مقدار ابرناکی در ورودی مدل TUV صد در صد در نظر گرفته می‌شود. ج) شرایط واقعی (All Sky): منظور از شرایط واقعی، تأثیر مقدار ابرناکی گزارش شده و اعمال آن در طول ساعات آفتابی در نتایج مدل TUV است. برای محاسبه این حالت در ابتدا حداکثر طول روز (N) و مقدار ساعات آفتابی (n) به صورت متوسط ماهیانه جهت محاسبه ضریب (n/N) که یک ضریب تعدیلی است، محاسبه گردید. سپس با ضرب کردن این ضریب تعدیلی در مقادیر تابش شرایط آسمان کاملاً صاف، تابش در شرایط فوق بدست می‌آید. ذکر این نکته ضروریست که پایش‌های دقیق پوشش ابری، ارتفاع موثر ابرها، توزیع اندازه قطره‌های داخل ابر و تفکیک مایع یا کریستال بودن ذرات داخل ابر که بر تابش فرابنفش دریافتی تأثیرگذارند، در مقیاس‌های زمانی طولانی مدت در دنیا در دسترس نمی‌باشد. به همین علت فرض شرایط فوق کاملاً واقعی نیست. با این حال، در ادبیات تابش از این اصطلاح استفاده می‌گردد (۱۶).

د) اختلاف نسبی تابش آسمان کاملاً صاف با آسمان کاملاً ابری: در این حالت تفاوت نسبی دو حالت (الف) و (ب) محاسبه و پهنه‌های مربوطه تولید شد. هدف از ارائه این حالت پاسخ به این پرسش است که آیا ابرناکی کامل در منطقه می‌تواند ریسک تابش UVB را بطور قابل ملاحظه کاهش دهد؟

در انتها، نقشه‌های پهنه‌بندی مقادیر UVB در تمام حالت‌های ذکر شده در محدوده مورد مطالعه بصورت متوسط فصلی (میانگین ۱۳ ساله) با استفاده از نرم‌افزار ArcGIS نسخه ۱۰,۴,۱ تولید می‌گردد.

1- National Aeronautics and Space Administration (<https://disc.gsfc.nasa.gov>)



شکل ۲- میانگین فصلی تابش تجمعی روزانه UVB (کیلوژول بر متر مربع در روز): (a) زمستان، (b) بهار، (c) تابستان، (d) پاییز در منطقه مورد مطالعه تحت شرایط آسمان کاملاً صاف

Figure 2- Seasonal mean daily UVB radiation ( $\text{kJ}/\text{m}^2.\text{day}$ ): a) Winter, b) Spring, c) Summer, d) Autumn in the study area for Clear-Sky conditions

با توجه به نتایج مطالعات پیشین که بیشینه تابش روزانه UVB را برای عرض‌های میانی تا ۸۰ کیلوژول بر متر مربع در روز گزارش نموده‌اند (۱۵)، ریسک بالای تابش در شرایط آسمان صاف در محدوده طول موج‌های UVB در ایران مشهود است (با بیشینه ۵۴ کیلوژول بر متر مربع در روز در ماه خرداد در ایستگاه جیرفت). ذکر این نکته ضروریست که علاوه بر زاویه تابش خورشید (زاویه سمت الراس خورشید) طول روز در منطقه در ایجاد این بیشینه تابش تجمعی روزانه نقش داشته است (۱۶). به نظر می‌رسد که با توجه به افزایش طول روزهای تابستان در شمال منطقه، وقوع بیشینه تابش روزانه UVB در جنوب منطقه، غلبه ازون کلی و زاویه تابش را بر طول روز تأیید می‌کند.

#### شرایط آسمان کاملاً آبری

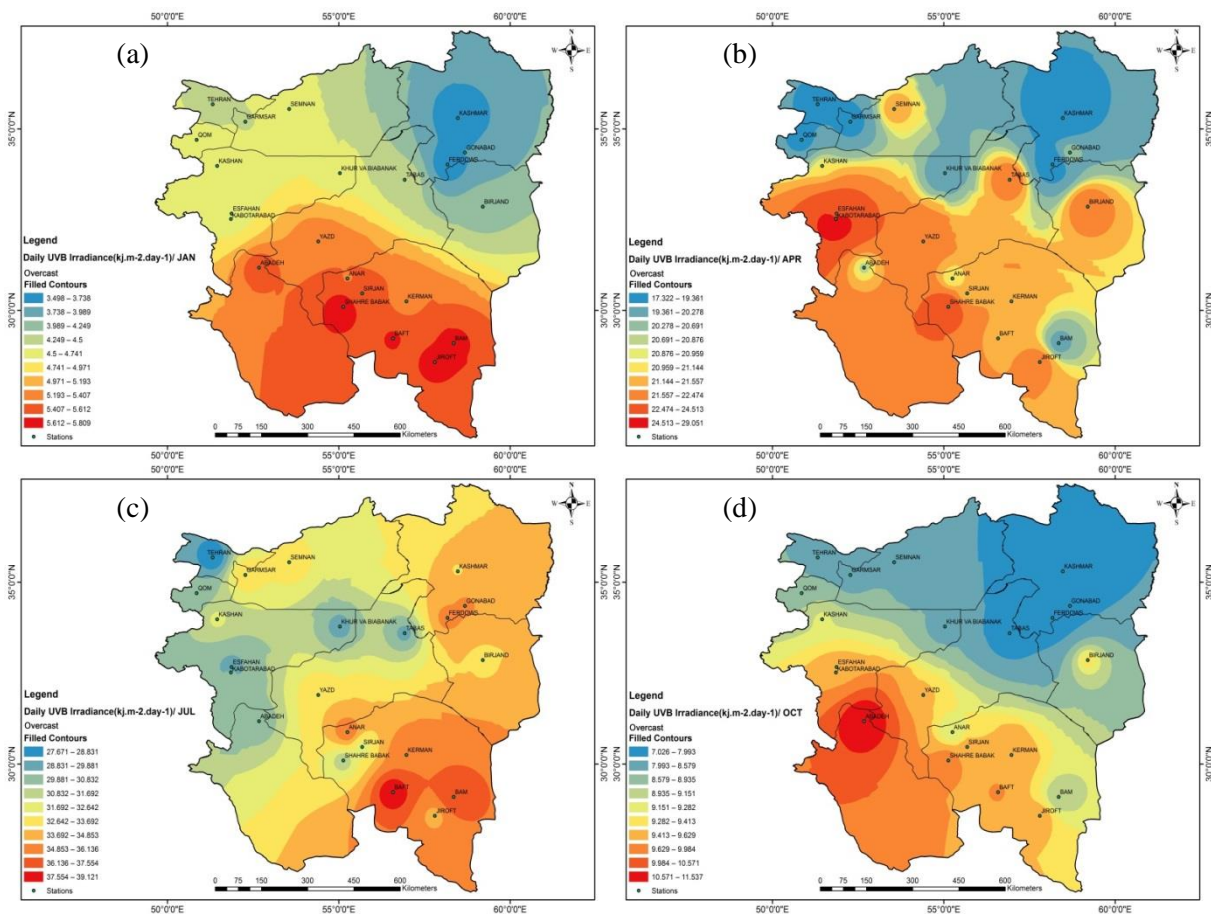
در این پژوهش مقدار تابش تجمعی روزانه UVB تحت شرایط

در برخی ایستگاه‌ها نظیر اصفهان، کبوترآباد و خور بیابانک که مقدار ازون کلی تغییر قابل ملاحظه‌ای نداشت کاهش شدت تابش روزانه UVB تا حدود ۲۰ درصد در بهار و تابستان در این ایستگاه‌ها مشاهده گردید. با بررسی مقادیر عمق نوری هواویزها مشخص شد که علت این کاهش، افزایش عمق نوری هواویزها (تا ۳ برابر نواحی اطراف) در ایستگاه‌های مذکور می‌باشد. بطوریکه که تأثیر عمق نوری بالای آتروسول‌ها در فصول بهار و تابستان در شهرهای کبوترآباد و خوربیابانک استان اصفهان در کاهش قابل ملاحظه تابش UVB دریافتی در شرایط آسمان صاف به وضوح مشهود است. لازم به توضیح است که در پژوهش حاضر نقشه‌های پهنه توزیع جغرافیایی ازون کلی، آلیدوی سطح، عمق نوری آتروسول‌ها، و عمق نوری ابرناکی در مقیاس ماهیانه تهیه گردید (جمعا ۴۸ شکل)، ولی به علت محدودیت تعداد صفحات در مقاله درج نگردید.

با انطباق جغرافیایی نقشه‌های روزانه تابش UVB با نقشه داده‌های ورودی (آزون، ابرناکی، آلبیدوی سطحی و هواویز جوی) مشخص شد که پهنه‌های UVB در شرایط تمام ابری، تطابق بیشتری با پهنه‌های ابرناکی دارند. به طوری که در هر ناحیه‌ای که کمینه ابرناکی وجود داشت مقادیر بیشتری از تابش فرابنفش تجربه شده بود، و بالعکس (به دلیل محدودیت تعداد صفحات، نقشه‌های پهنه داده‌های ورودی نشان داده نشد). البته این به آن معنا نیست که تأثیر سایر پارامترها را باید نادیده گرفت. در مجموع، بیشترین مقدار تابستانه تابش UVB در نواحی جنوب شرقی منطقه مورد مطالعه به خصوص ایستگاه‌های بم، بافت و جیرفت (تا ۳۹ کیلوژول بر متر مربع در روز) و کمترین مقدار در زمستان در نواحی شمال شرقی منطقه مورد مطالعه به خصوص ایستگاه‌های کاشمر و فردوس (کمتر از ۳/۸ کیلوژول بر متر مربع در روز) مشاهده می‌شود (شکل ۳a). در ماه‌های آوریل و اکتبر (نماینده فصول بهار و پاییز) کمترین مقادیر تابش در نواحی شمالی منطقه مشاهده می‌گردند (شکل‌های ۳b,d).

آسمان کاملاً ابری نیز برآورد گردید تا با شرایط آسمان کاملاً صاف مقایسه شوند و تأثیر ابرناکی و هواویزها بر تابش رسیده به سطح زمین مورد ارزیابی قرار گیرد. در شکل ۳ پهنه بندی UVB در ماه‌های ژانویه، آوریل، جولای و اکتبر (به ترتیب بعنوان شاخص فصل-های زمستان، بهار، تابستان و پاییز) در شرایط آسمان کاملاً ابری ارائه گردیده است.

همانند شرایط آسمان کاملاً صاف، فصل تابستان تحت شرایط فرضی کاملاً ابری بیشترین و فصل زمستان کمترین تابش روزانه UVB را تجربه نموده است (شکل‌های ۳a,c). بزرگترین بازه تغییرات جغرافیایی تابش در فصل بهار و تابستان (حدود  $12 \text{ kJ/m}^2 \cdot \text{day}$ ) رخ داده است، در حالی که کوچکترین بازه تغییرات در فصل زمستان (حدود  $2/3 \text{ kJ/m}^2 \cdot \text{day}$ ) به وقوع پیوسته است. در شرایط آسمان کاملاً صاف، بزرگترین بازه تغییرات در فصل پاییز و کوچکترین بازه تغییرات در فصل تابستان رخ داده بود که بیانگر این واقعیت است که شرایط تمام ابری منجر به تغییرات فصلی دامنه تابش روزانه می‌گردد.



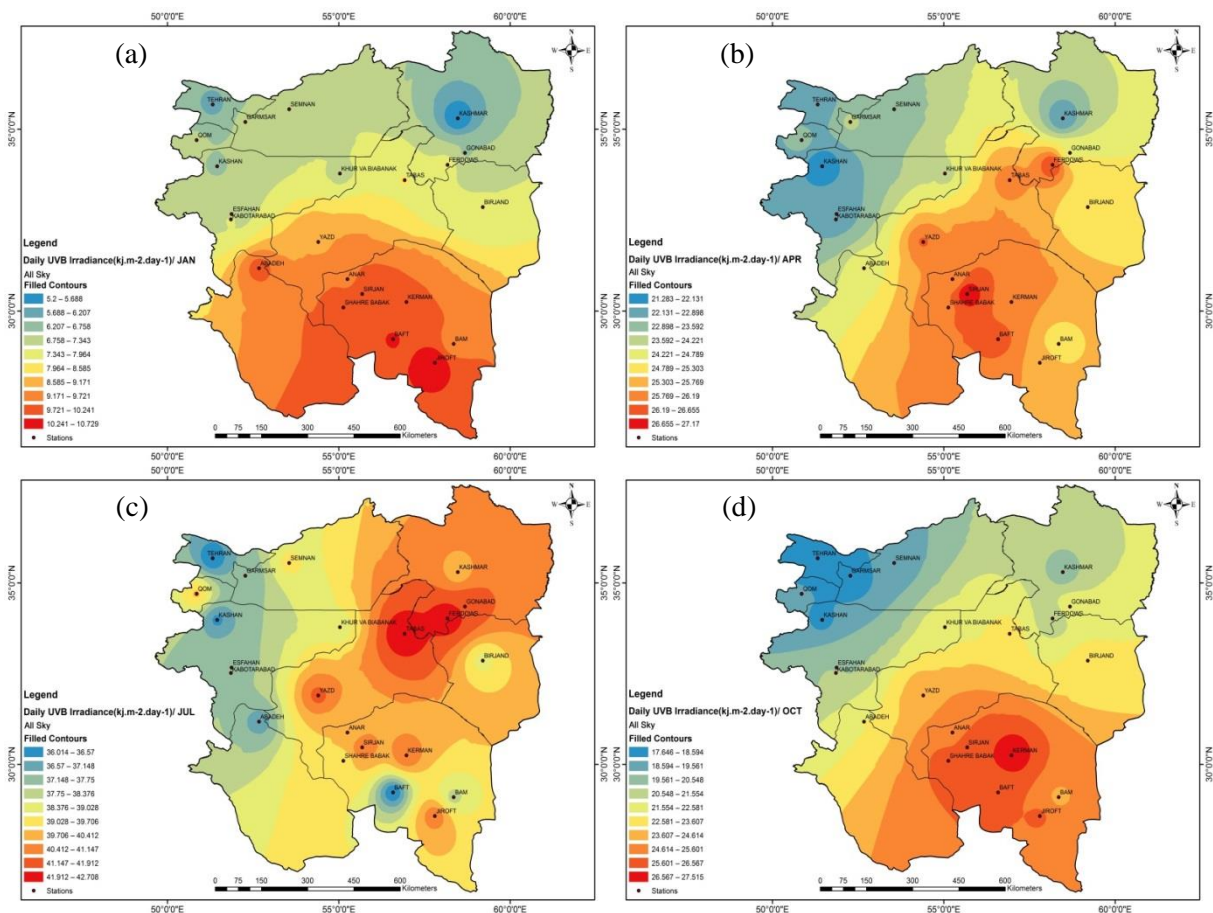
شکل ۳- میانگین فصلی تابش تجمعی روزانه UVB (کیلوژول بر متر مربع در روز): (a) زمستان، (b) بهار، (c) تابستان، (d) پاییز در منطقه مورد مطالعه تحت شرایط آسمان کاملاً ابری

Figure 3- Seasonal mean daily UVB radiation ( $\text{kJ/m}^2 \cdot \text{day}$ ): a) Winter, b) Spring, c) Summer, d) Autumn in the study area for overcast conditions

شرایط واقعی آسمان

همانطور که در بخش قبل اشاره شد، با استفاده از طول روز (N) و مقدار ساعات آفتابی (n) ماهیانه، ضریب تعدیلی (n/N) محاسبه و با اعمال این ضریب تعدیلی در مقادیر UVB آسمان کاملاً صاف تابش روزانه UVB در شرایط واقعی آسمان (All Sky) برآورد گردید. در شکل ۴ پهنه بندی UVB در ماه‌های ژانویه، آوریل، جولای و اکتبر (به ترتیب بعنوان نماینده فصل‌های زمستان، بهار، تابستان و پاییز) در شرایط واقعی آسمان ارائه گردیده است. مقادیر UVB تحت شرایط واقعی آسمان به نسبت آسمان کاملاً صاف به طور متوسط از ۱۹ درصد در فصل پاییز تا ۳۳ درصد در فصل بهار کاهش پیدا نموده است. مطابق انتظار فصل تابستان دارای بالاترین مقادیر UVB در

تمامی ایستگاه‌های مورد مطالعه بوده است و فصل زمستان دارای کمترین مقادیر در تمامی ایستگاه‌های مورد مطالعه است. بزرگترین بازه تغییرات (اختلاف کمینه و بیشینه) تابش روزانه UVB (حدوداً بین ۱۷/۶ تا ۲۷/۵  $\text{kJ/m}^2.\text{day}$ ) در فصل پاییز (شکل ۴d) حادث شده است، در حالی که کوچکترین بازه تغییرات (بین ۳۶/۱ تا ۴۲/۷  $\text{kJ/m}^2.\text{day}$ ) در فصل تابستان به وقوع پیوسته است. بیشترین بیشینه شدت تجمعی تابش UVB روزانه در همه فصول به استثناء تابستان در نواحی جنوب منطقه متمرکز بوده است. در فصل تابستان بیشینه تابش روزانه به نواحی شمال شرقی منطقه مورد مطالعه منتقل شده است (شکل ۴c). از دلایل این انتقال، علاوه بر تاثیر ازون به تاثیر مونسون تابستانه هند در بر هم زدن توزیع جغرافیایی بخار آب، ابرناکی و ریزگرد در منطقه اشاره نمود.



شکل ۴- میانگین فصلی تابش تجمعی روزانه UVB (کیلوژول بر متر مربع در روز): (a) زمستان، (b) بهار، (c) تابستان، (d) پاییز در منطقه مورد مطالعه تحت شرایط واقعی آسمان

Figure 4- Seasonal mean daily UVB radiation ( $\text{kJ/m}^2.\text{day}$ ): a) Winter, b) Spring, c) Summer, d) Autumn in the study area for All-Sky conditions

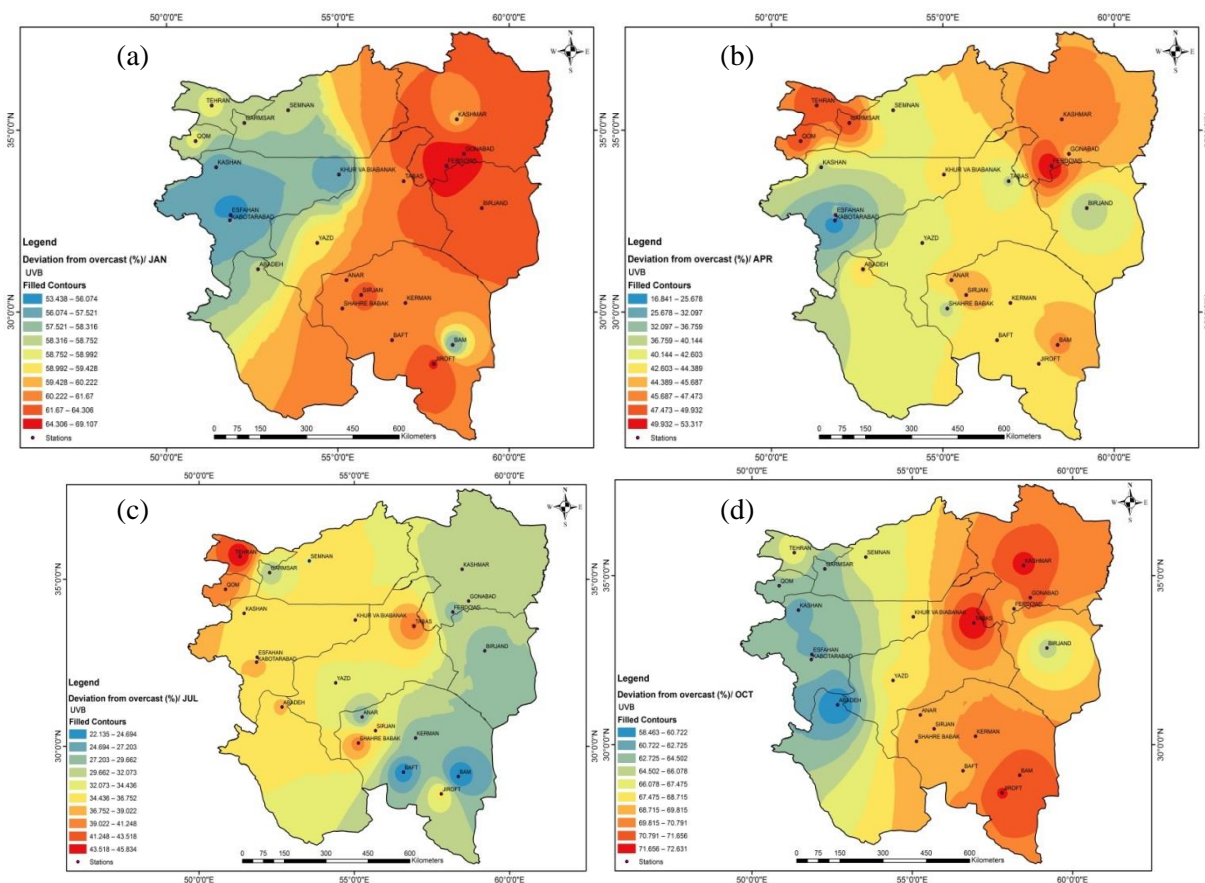


بهار، تابستان و پاییز در نظر گرفته شد.

در شکل ۵ پهنه‌بندی تفاوت نسبی (درصد) تابش تجمعی روزانه UVB در شرایط تفاوت آسمان کاملاً صاف با آسمان کاملاً ابری ارائه است. همانطور که قبلاً اشاره شد، این حالت از حاصل تقسیم، تفاوت مقادیر آسمان کاملاً صاف و کاملاً ابری، بر مقدار مشابه در آسمان کاملاً صاف به دست آمده است. حداکثر تفاوت نسبی UVB با میانگین منطقه‌ای ۶۵/۵ درصد در فصل پاییز رخ داده است. در سایر فصل‌های مورد مطالعه فصل تابستان با مقدار متوسط ۳۲ درصد کمترین انحراف نسبی را به خود اختصاص داده است (شکل ۵c). بزرگترین بازه انحراف نسبی UVB روزانه (بین ۱۶/۸ تا ۵۳/۳ درصد) در ماه آوریل (نماینده فصل بهار) مشاهده می‌شود (شکل ۵b)، در حالی که کوچکترین بازه تغییرات UVB (بین ۵۸/۴ تا ۷۲/۶ درصد) در نماینده فصل پاییز به وقوع پیوسته است (شکل ۵d). طبق شکل ۵ کمترین و بیشترین تفاوت نسبی نقطه‌ای در ایستگاه‌های کیوتوآباد اصفهان (آوریل، ۱۶/۸ درصد) و طبس (اکتبر، ۷۲ درصد) ثبت شده است.

### تفاوت آسمان کاملاً صاف با آسمان کاملاً ابری

به منظور بررسی تأثیر ابرناکی در شدت تابش تجمعی روزانه UVB در سطح زمین مقادیر تابش تجمعی در دو حالت حدی آسمان کاملاً صاف و کاملاً ابری در منطقه مورد مقایسه قرار گرفت. با این هدف که آیا شرایط کاملاً ابری خطر شدت‌های بالای تابش UVB را در صورت وقوع در منطقه کاهش خواهد داد؟ در این بخش به منظور درک بهتر مقایسه بصورت نسبی انجام شد تا میزان کاهش حاصل از پوشش ابری بهتر درک شود. همچنین با توجه به اینکه هدف از مطالعه شناسایی مناطق با ریسک زیاد و بررسی تأثیر پوشش ابری یکسان در منطقه مورد مطالعه است، ضخامت ابر بصورت پیش فرض در کل منطقه یک کیلومتر فرض شد. لازم به ذکر است در صورتیکه مقادیر حدی حداکثر شدت UV مد نظر نباشد، اطلاعات دقیق ضخامت ابر در هر ایستگاه و بکارگیری آن در مدل TUV ضروریست. متأسفانه این اطلاعات فعالاً در ایستگاه‌های هواشناسی کشور ثبت نمی‌شود و اطلاعات سنجنده‌های ماهواره‌ای دقت لازم را برای ورودی مدل‌های تابش ندارند. در این بخش نیز ماه‌های ژانویه، آوریل، جولای و اکتبر به ترتیب بعنوان شاخص فصل‌های زمستان،



شکل ۵- تفاوت نسبی تابش تجمعی روزانه UVB آسمان صاف نسبت به آسمان تمام ابری: (a زمستان، (b بهار، (c تابستان، (d پاییز (بر حسب درصد)

Figure 5- Relative differences between the total daily UVB radiation in clear-sky with overcast conditions: a) Winter, b) Spring, c) Summer, and d) Autumn (in percent)

مسیر پرتوها، تاثیر کاهشی ابر بر تابش سطحی UVB بطور نسبی بیشتر از ماه‌های گرم سال رخ می‌دهد. برآوردها نشان داد که تابش تجمعی روزانه UVB در اغلب فصول سال در مناطق جنوبی منطقه مورد مطالعه شدت بیشتری دارد و این مناطق در معرض ریسک بیشتری از خطرات بیولوژیکی پرتوهای فرابنفش قرار دارند. البته در ماه‌های ژوئن، جولای و آگوست به دلیل نفوذ مونسون هندوستان از سمت جنوب‌شرق، این بیشینه قدری به سمت عرض‌های شمالی کشیده می‌شود.

لازم به ذکر است که علاوه بر زاویه تابش خورشیدی، طول روز در نقاط مختلف منطقه در ایجاد و جابجایی بیشینه UVB نقش دارد. به نظر می‌رسد که علیرغم بالاتر بودن طول روز تابستانه در شمال منطقه، علت انتقال بیشینه به شهرهای جنوب منطقه به زاویه تابش عمودی تر (زاویه سمت الراس کمتر) و اُزون کلی کمتر مرتبط باشد. در تحقیق فیولوتوف و همکاران (۳) نیز عنوان شده است که شدت تابش اشعه فرابنفش با مقدار زاویه سمت الراس نسبت معکوس دارد. بطوریکه افزایش در زاویه مذکور، کاهش در شدت تابش پرتو فرابنفش را در پی دارد (شدت تابش دریافتی در سطح زمین متناسب با کسینوس زاویه سمت الراس خورشیدی است). ضمناً، طول مسیر پرتوهای عبوری از جو با افزایش زاویه سمت الراس خورشیدی افزایش می‌یابد. بنابراین هرگونه جذب یا پخش توسط گازهای جوی یا ذرات معلق در هوا با افزایش طول مسیر افزایش می‌یابد. مقایسه کلی پهنه های تابش فرابنفش با مقادیر اُزون، ابرناکی، آلیبدو و هواویزها حاکی از این واقعیت است که وقوع کمینه و بیشینه‌های تابش فرابنفش UVB در شرایط تمام ابری بیشتر تحت تاثیر توزیع اُزون کلی جو و عمق اپتیکی ابرها قرار دارند و نوسانات ماهیانه آلیبدو و غلظت هواویز تاثیر قابل ملاحظه‌ای بر جابجایی مراکز بیشینه و کمینه تابش روزانه UVB ندارد (در پژوهش حاضر ۴۸ نقشه ماهیانه توزیع جغرافیایی آلیبدوی سطحی و عمق نوری هواویزها تهیه ولی بدلیل محدودیت تعداد صفحات در مقاله ارائه نگردید). مقایسه پهنه جغرافیایی مقادیر تابش تجمعی روزانه UVB با اُزون کلی و عمق نوری ابر روشن ساخت که در مواقعی که عمق نوری ابرها قابل ملاحظه است (ماه-های دسامبر تا آوریل) عامل ابرناکی در کاهش تابش UVB مؤثرتر از غلظت اُزون کلی عمل می‌کند. برعکس، در مواقعی که مقدار ابرها و عمق نوری آنها کم است تاثیر نسبی اُزون کلی بر تابش UVB بیشتر است. این نتیجه با نتایج پژوهش شرعی پور و علی اکبری (۱۷) در ایستگاه اصفهان همخوانی داشت.

با توجه به اینکه در این پژوهش محاسبات بصورت ایستگاهی صورت گرفت، جهت استخراج پهنه‌های دقیق‌تر، پیشنهاد می‌شود از داده‌های گریدبندی شده سایر نقاط خارج از ایستگاه نیز استفاده گردد. ضمناً چون اعتبارسنجی خروجی مدل‌های انتقال تابش نیاز مبرم به

بررسی پهنه‌ها نشان می‌دهد که ابرناکی تاثیر به سزایی بر تابش روزانه UVB دارد. این تاثیر به گونه ایست که شرایط آسمان تمام ابری (با ابری به ضخامت یک کیلومتر در ارتفاع ۴ کیلومتری بالای منطقه) قادر است تابش روزانه دریافتی را در در محدوده طول موجهای UVB در مقیاس نقطه‌ای تا ۷۳ درصد (پاییز) کاهش دهد. این تاثیر کاهشی در همه فصول سال یکسان نمی‌باشد. تاثیر کاهشی ابر بر تابش سطحی فرابنفش در فصول گرم سال (به دلیل زاویه سمت‌الراس کمتر) بطور نسبی کمتر از فصول سرد سال می‌باشد. مقدار انحراف مشاهده شده از تاثیر کاهشی آسمان تمام ابری در ماه های گرم ژوئن، جولای، آگوست و سپتامبر در محدوده طول موجهای UVB بین ۲۲ الی ۴۶ درصد می‌باشد. در ماه‌های سرد نوامبر تا مارس، میانگین تاثیر کاهشی پوشش تمام ابری بر تابش دریافتی در محدوده ۵۳ الی ۷۳ درصد بدست آمد (بطور متوسط ۲ برابر تابستان). علت این امر را می‌توان به زاویه سمت الراس بیشتر (پرتوهای مایل تر در فصول سرد سال) نسبت داد. لازم به یادآوریست که در این بخش، در محاسبه تابش روزانه چه در شرایط آسمان صاف و چه در شرایط تمام ابری متغیرهای ورودی نظیر عمق اپتیکی هواویزها، اُزون کلی، و ضریب آلیبدو در محاسبات یکسان نظر گرفته شد تا امکان بررسی تاثیر ابرناکی فراهم گردد. در این رابطه نیز ضخامت ابر در کل منطقه یکسان و برابر یک کیلومتر (ارتفاع پایه ۴ کیلومتر و ارتفاع قله ۵ کیلومتر) لحاظ گردید.

## نتیجه‌گیری و پیشنهادها

نتایج بدست آمده حاکی از این است که فصل تابستان در تمامی ایستگاه‌های مورد مطالعه و در تمامی شرایط مورد بررسی (آسمان کاملاً صاف، کاملاً ابری و واقعی) بالاترین مقادیر تجمعی روزانه UVB را تجربه نموده است. کمینه مقادیر روزانه UVB نیز برای تمام شرایط مورد بررسی در فصل زمستان رخ داد. این نتیجه با نتایج تحقیقات موقری و خسروی (۱۲) و موسوی و همکاران (۱۰) همخوانی نشان داد. نامبردگان عنوان نمودند شدت بالای شاخص پرتو فرابنفش (UVI) در گستره ایران، در فصول گرم سال (بهار و تابستان) در نیمه جنوبی کشور رخ می‌دهد و بیشینه شاخص پرتو فرابنفش در عرض‌های جنوبی کشور متمرکز است (۱۰ و ۱۲). نتایج مقایسه تابش تجمعی روزانه شبیه سازی شده در شرایط آسمان کاملاً صاف با شرایط آسمان کاملاً ابری نشان می‌دهد که مقادیر روزانه UVB تحت شرایط آسمان کاملاً ابری نسبت به آسمان کاملاً صاف به طور متوسط از ۳۳ درصد در فصل تابستان تا ۶۷ درصد در فصل پاییز کاهش می‌یابد. علت کاهش بیشتر در فصل پاییز این است که در ماه‌های سرد سال به دلیل زاویه سمت الراس بیشتر و افزایش طول

تحت حمایت مالی صندوق حمایت از پژوهشگران ریاست جمهوری انجام شده است که بدینوسیله از آن مرکز تشکر و قدردانی می‌شود. نویسندگان مقاله صمیمانه از راهنمایی علمی دکتر ساشا مدرونیچ در مرکز NCAR کلرادو آمریکا قدردانی می‌نمایند. همچنین از مدیران آرشیو اطلاعات سایت ناسا بخاطر در اختیار گذاشتن داده‌های مورد نیاز قدردانی می‌شود.

داده‌های زمینی دارد، امید است که همکاری مشترک سازمان هواشناسی و سازمان محیط زیست کشور زمینه مناسبی را برای تاسیس شبکه پایش زمینی تابش فرابنفش خورشیدی در کشور فراهم نماید.

## سپاسگزاری

مقاله حاضر برون داد طرح پژوهشی با شماره قرارداد ۸۵۱۰۵/۵۰

## منابع

- 1- Abedzadeh M., and Pourakbar L. 2014. Effects of UV-B and UV-C radiation on antioxidative enzymes activity of *Melissa officinalis* and influences of salicylic acid in UV-stress ameliorations. *Iranian Journal of Plant Biology* 6(21): 1-14. (In Persian with English abstract)
- 2- Farajzadeh Asl M., Ghavidel Rahimi Y., and Ardeshiri Kalhor M. 2014. Analysis of ultraviolet radiation changes in Isfahan region. *Journal of Spatial Analysis of Environmental Hazards* 1(2): 93-105. (In Persian with English abstract)
- 3- Fioletov V., James B., Kerr R., and Fergusson A. 2010. The UV Index: Definition, Distribution and Factors Affecting it. *Canadian Journal of Public Health* 101(4): 15-19.
- 4- Kerr J.B., and Fioletov V. 2008. Surface Ultraviolet Radiation. *Journal of Atmosphere Ocean* 46(1): 159-184.
- 5- Khatami F., and Ghanati F. 2014. Investigating the effect of tension of ultraviolet B and C rays on the pharmacological composition of cheese calluses (*Malva neglecta* Wallr.). *Scientific-Research Quarterly Journal of Iranian Medicinal and Aromatic Plants Research* 30(1): 30-41. (In Persian with English abstract)
- 6- Lam K.S., Aijun D., Chan L.Y., Wang T., and Wang T.J. 2002. Ground-based measurements of total ozone and UV radiation by the Brewer spectrophotometer at Hong Kong. *Atmospheric Environment Journal* 36: 2003-2012.
- 7- Madronich S. 1993. The atmosphere and UV radiation at ground level. *Journal of Environmental UV Photobiology* 69(3): 1-39.
- 8- McKenzie R.L., Aucamp P.J., Bais A.F., Bjorn L., and Ilyas M. 2007. Changes in biologically active ultraviolet radiation reaching the Earth's surface. *Journal of Photochem and Photobiology* 6: 218-231.
- 9- Michalsky J.J., and Kiedron P.W. 2008. Comparison of UV-RSS spectral measurements and TUV model runs for clear skies for the May 2003 ARM aerosol intensive observation period. *Journal of Atmospheric Chemistry and Physics* 8: 1813-1821.
- 10- Mousavi SH., Hajizadeh A., and Hasani M. 2012. Modified Satellite Data Model in Solar Ultraviolet Radiation Zoning in Iran. *Ozone and Ultraviolet Radiation Conference* 71-78. (In Persian with English abstract)
- 11- Moradi M.M., Pourakbar L., Moghaddam S.S., and Popović-Djordjević J. 2019. Agrobiological, chemical and antioxidant properties of saffron (*Crocus sativus* L.) exposed to TiO<sub>2</sub> nanoparticles and ultraviolet-B stress. *Industrial Crops and Products* 117: 137-143.
- 12- Movaghari A., and Khosravi M. 2014. Calculation, evaluation and analysis of spatial distribution of ultraviolet light index in Iran. *Journal of Applied Research in Geographical Sciences* 14(34): 11-31. (In Persian with English abstract)
- 13- Palancar G.G., and Toselli B.M. 2004. Effects of meteorology on the annual and interannual cycle of the UV-B and total radiation in Córdoba city, Argentina. *Journal of Atmospheric Environment* 38: 1073-1082.
- 14- Pribulova A., and Chmelik M. 2008. Typical distribution of the solar erythemal UV radiation over Slovakia. *Atoms. Chem. Phys. Discuss Journal* 8: 5919-5938.
- 15- Sabziparvar A.A., Keith P., Shine B., and Piers M. 1999. A Model Derived Global Climatology of UV Irradiation at the Earth Surface. *Journal of Photochem and Photobiology* 69(2): 193-202.
- 16- Sabziparvar A.A. 2007. General formula for estimation of monthly mean global solar radiation in different climates of south and north coasts of Iran. *International Journal of Photoenergy* doi:10.1155/2007/94786.
- 17- Shariepour Z., and Aliakbari Bidokht A. 2012. The effects of cloudiness and total ozone on UV-B radiation in Esfahan region. *Iranian Journal of Geophysics* 5(4): 74-88. (In Persian with English abstract)
- 18- WHO. 2006. Global disease burden from solar ultraviolet radiation. *World Health Organization Report*. ISBN 92-4-159440-3: 15-43.

## Evaluating the Impact of Clouds on Total Daily UVB Irradiances in Arid and Semi-arid Regions of Iran

A.A. Sabziparvar<sup>\*1</sup>- A.R. Seifzadeh Momensaraei<sup>2</sup>

Received: 14-07-2020

Accepted: 27-02-2021

**Introduction:** Although the contribution of Ultra-violet (UV) radiation is about 5-7% of the whole solar energy; nevertheless, it plays an important role in regulating the biological and photochemical processes within the Earth-atmospheric system. Ultra-violet radiation is well-known for its significant influence on human health and the environment. High UV doses have negative effects on the skin (erythema (sunburn), skin cancer) and cause eye diseases and immune suppression. However, moderate UV doses have positive effects causing vitamin D production. Apart from the solar elevation, ozone and cloudiness are the main factors affecting UV level and providing significant year-to-year variability of UV radiation. The effect of clouds on UV radiation is as varied as the clouds change. Fully overcast skies lead to reductions in surface UV irradiance. On average, scattered or broken clouds also cause reductions, but short-term or localized UV levels can be larger than for cloud-free skies if direct sunlight is also present. It is noted that long-term cloud type and amount trends are largely unknown due to the relatively short data record of comprehensive cloud observations and the high variability of clouds on interannual and longer time scales. So far, most studies have focused on in-vitro impacts of UV radiation on human health and plant physiology. Unfortunately, not much research has addressed the effect of ozone and clouds distribution on total daily UVB irradiances in central arid deserts of Iran. Meanwhile, these limited investigations have used Tropospheric Ultraviolet-Visible (TUV5) radiation. The present work is aimed to evaluate the influence of clouds and ozone on daily UVB in different sky conditions.

**Materials and Methods:** To estimate the total daily UVB irradiances (280-315 nm), 13-year (2005-2017) historical data from 22 meteorological sites (9 provinces) were applied as the input of the TUV5 multilayer radiative transfer model. The Tropospheric Ultraviolet-Visible (TUV) model is used widely by the scientific community for applications including atmospheric photochemistry, solar radiometry, and environmental photobiology. The model calculates spectral radiance, irradiance, and actinic flux over 120-750 nm at an underlying resolution of 0.01 nm, as well as weighted spectral integrals including wavelength bands (visible, UVA, UVB, UVC), photolysis coefficients (112 reactions), and biologically active irradiances (UV index, DNA damage, vitamin D production, etc.). Atmospheric inputs include vertical profiles of N<sub>2</sub>, O<sub>2</sub>, O<sub>3</sub>, NO<sub>2</sub>, SO<sub>2</sub>, clouds, and aerosols. The propagation of radiation through multiple atmospheric layers (concentric spherical shells for direct solar beam, plane-parallel for diffuse radiation) is computed using a fast 2-stream approximation or a multi-stream discrete ordinates scheme. Version 5.3 provides updated spectroscopic data for a number of photolysis reactions (7). The aforesaid dataset includes Total column ozone (TCO), Cloud optical depth (COD), Aerosol optical depth (AOD), and Surface albedo (SALB), which were freely extracted from [://disc.gsfc.nasa.gov](http://disc.gsfc.nasa.gov) satellite-based images.

**Results and Discussion:** TUV5 Model estimated total daily UVB radiation for three different sky conditions (Clear-sky, whole sky cover, real sky) and the results compare to each other. The maximum daily UVB for clear-sky and overcast conditions (whole cloud cover) was found in summer and for the south and south-east of the region (Kerman, Fars, and Yazd provinces). The observed decline in daily UVB due to the clouds varied from 33% in summer to 67% in autumn, which highlights the importance of total cloud cover (overcast) in reducing the UVB radiation in the study sites. For the real sky condition (all-sky), the maximum daily UVB irradiances were found in southern parts of the region for most of the seasons. However, as the Indian summer Monsoon result, the maximum UVB has slightly moved toward the northwest of the region. Meanwhile, the inter-comparison of daily UVB maps with total column ozone (TCO), cloud optical depth (COD), aerosol optical depth (AOD), and surface albedo (SALB) maps show that the geographical position of maximum UVB radiation in southern provinces is in good agreement with the total column ozone and cloud optical depth. In this regard, variations of monthly SALB and AOD have less influence on the determination of displacing the maximum UVB.

1 and 2- Professor in Meteorology and Ph.D. Candidate in Agrometeorology, Faculty of Agriculture, Bu-Ali Sina University, Hamedan, Iran, respectively.

(\*- Corresponding Author Email: [swsabzi@basu.ac.ir](mailto:swsabzi@basu.ac.ir))

DOI: 10.22067/jsw.2021.15010.0

**Conclusion:** Results of the present work highlight the high biological risk of solar UVB irradiances during clear-sky days over the study region. For full cloud cover (overcast condition), the maximum and minimum UVB are observed in the south and northeast of the region, respectively. A relative comparison of total daily UVB in clear-sky conditions versus the UVB of overcast conditions highlights the fact that clouds can significantly reduce the biological risk from 33% in summer to 67% in autumn. The UVB reduction by clouds is more pronounced during cold seasons due to the combined interaction of larger solar zenith angle (lower sun angle) with clouds and ozone.

**Keywords:** Clear-sky, Cloudy-sky, Multilayer Radiative Transfer, Surface biological radiation, Seasonal average UVB, TUV5 model